MiR-199a 修饰的间充质干细胞来源外泌体通过 Akt/HIF-1α/DRP1 轴促进 缺糖缺氧/复糖复氧模型心肌细胞 H9c2 线粒体修复

郑君毅¹,李晓凤²,郭绪昆¹

- 1. 天津市胸科医院 心内科, 天津大学附属胸科医院 心内科, 天津市心血管病研究所, 天津 300222
- 2. 天津中医药大学 第二附属医院 心内科, 天津 300150

摘 要: 目的 探讨 miR-199a 修饰的间充质干细胞(MSCs)来源的外泌体修复缺糖缺氧/复糖复氧模型心肌细胞 H9c2 线粒体的作用机制。方法 体外培养 MSCs,转染 miR-199a mimics 或 miR-NC,48~72 h 后 收集 外 泌体,实时 荧光 定量 PCR(qRT-PCR)法检测外泌体的 miR-199a 水平。将 H9c2 细胞分为对照组、模型组、miR-199a 修饰外泌体(Exos^{mimic},终质量浓度 50 μg·mL⁻¹)组、miRNA 阴性对照修饰外泌体(Exos^{NC},终质量浓度 50 μg·mL⁻¹)组和 miR-199a 修饰外泌体+蛋白激酶 B(Akt)抑制剂(Exos^{mimic}+MK2206 10 μg·mL⁻¹)组,除对照组外,制备缺糖缺氧/复糖复氧模型。应用 CCK-8 法检测各组细胞存活率,酶标仪检测各组细胞三磷酸腺苷(ATP)、超氧化物歧化酶(SOD)、丙二醛(MDA)水平以及上清液 8-羟基脱氧尿苷(8-OHdG)、乳酸脱氢酶(LDH)水平;共聚焦显微镜检测各组线粒体膜电位(Δ Ψm)和线粒体动力学变化;Western blotting 法检测各组缺氧诱导因子 1α (HIF- 1α)和线粒体动力相关蛋白 1α (DRP1)蛋白表达变化。结果 与对照组比较,Exos^{mimic}中 miR-199a 表达水平明显升高(P<0.05),提取的外泌体直径平均为 109.3 nm,浓度为 1×10^6 颗粒·mL⁻¹。与对照组比较,模型组细胞存活率和 ATP、SOD、 Δ Ψm 水平显著下降,LDH、MDA、8-OHdG 水平和 HIF- 1α 和 DRP1 蛋白表达水平显著升高(P<0.01、0.001),线粒体分裂水平增加;与模型组比较,Exos^{mimic}组细胞存活率和 ATP、SOD 和 Δ Ψm 水平显著升高,LDH、MDA、8-OHdG 水平和 HIF- 1α 及 DRP1 蛋白表达水平显著下降(P<0.01、0.001),线粒体分裂水平减少;MK2206 能明显逆转 Exos^{mimic}效果(P<0.05、0.01)。结论 miR-199a 修饰的 MSCs 外泌体通过 Akt/HIF- 1α /DRP1 轴促进缺糖缺氧/复糖复氧心肌细胞线粒体修复。

关键词: miR-199a; 外泌体; 间充质干细胞; 心肌细胞H9c2; 缺糖缺氧/复糖复氧; 线粒体; Akt/HIF-1α/DRP1 轴

中图分类号: R363 文献标志码: A 文章编号: 1674-6376 (2024) 10-2317-09

DOI: 10.7501/j.issn.1674-6376.2024.10.011

MiR-199a-modified mesenchymal stem cell-derived exosomes promote mitochondrial repair in H9c2 cardiomyocytes of hypoxia/reoxygenation model through Akt/HIF-1 α /DRP1 axis

ZHENG Junyi¹, LI Xiaofeng², GUO Xukun¹

- 1. Department of Cardiology, Tianjin Chest Hospital, Tianjin Institute of Cardiovascular Disease, Tianjin 300222, China
- 2. Department of Cardiology, Second Affiliated Hospital of Tianjin University of Traditional Chinese Medicine, Tianjin 300150, China

Abstract: Objective To investigate the mechanism of miR-199a-modified mesenchymal stem cell (MSC)-derived exosomes in repairing mitochondria of H9c2 cardiomyocytes in a model of hypoglycemia/hypoxia/reoxygenation with hypoglycemia. **Method** Transfect miR-199a mimics or miR-NC into MSCs and collect exosomes 48—72 h later. Fluorescence quantitative PCR (qRT-PCR) method was used to detect miR-199a levels in different exosomes. H9c2 cells were divided into control group, model group, Exos^{mimic} group (final concentration of 50 μg·mL⁻¹), Exos^{NC} group (final concentration of 50 μg·mL⁻¹), and Exos^{mimic}+MK2206 (10 μg·mL⁻¹) group. Except for the control group, the model of hypoglycemia/hypoxia/reoxygenation with hypoglycemia was established. The survival rate of cells in each group was detected by CCK8 assay, and the levels of ATP, 8-hydroxy-2-deoxyguanosine (8-OHdG), lactate dehydrogenase (LDH), superoxide dismutase (SOD), malondialdehyde (MDA) in each group

收稿日期: 2024-07-02

基金项目: 国家自然科学基金资助项目(82004329);天津市医学重点学科(专科)建设项目

第一作者: 郑君毅(1979一),男,副主任医师,主要从事心血管疾病临床和基础研究。E-mail:junyi_zh@163.com

were detected by enzyme-linked immunosorbent assay (ELISA). The changes of mitochondrial membrane potential ($\Delta\Psi$ m) and dynamics were detected by confocal microscopy. The expression changes of hypoxia-inducible factor 1α (HIF- 1α) and mitochondrial dynamics-related protein 1 (DRP1) were detected by Western blotting. **Result** Compared with control group, the expression level of miR-199a in Exos^{mimic} was significantly increased (P < 0.05), and the average diameter of extracted exosomes was 109.3 nm, with a concentration of 1×10^6 particles·mL⁻¹. Compared with control group, the model group showed a significant decrease in cell survival rate and ATP, SOD, and $\Delta\Psi$ m levels, while LDH, MDA, 8-OHdG levels, HIF- 1α and DRP1 protein expression levels were significantly increased (P < 0.01, 0.001), and mitochondrial division levels were increased. Compared with model group, the Exos^{mimic} group showed a significant increase in cell survival rate, ATP, SOD, and $\Delta\Psi$ m levels, while LDH, MDA, 8-OHdG levels, HIF- 1α , and DRP1 protein expression levels were significantly decreased (P < 0.01, 0.001), and mitochondrial division levels were reduced. MK2206 can significantly reverse the Exos^{mimic} effect (P < 0.05, 0.01). **Conclusion** miR-199a modified MSCs exosomes exert mitochondrial protective effects by AKT/HIF- 1α /DRP1 axis.

Key words: miR-199a; exosomes; mesenchymal stem cell; H9c2 cardiomyocyte; hypoxia/reoxygenation; mitochondria; Akt/HIF-1α/DRP1 axis

微小RNA(miRNA)是约20 nt 寡核糖核苷酸,通过特异性靶向mRNA诱导其降解或抑制翻译实现转录后基因调节,具有高度保守性[1]。miR-199a是心肌细胞缺氧时的重要调节因子,通过腺相关病毒载体过表达miR-199a的前体miRNA基因可以刺激心肌细胞的增殖,减少心肌梗死后心力衰竭的发生率,但是miR-199a的持续和不受控制的表达能够导致严重的心律失常性猝死[2]。因此,寻找有效的、新的miR-199a携带方式,严格控制其表达也许可以为心肌梗死提供新的治疗方式。

外泌体是一种纳米囊泡(30~150 nm),可以携带多种生物分子,包括 DNA、RNA、蛋白质和脂质,从而能够同时调节多个生物过程^[3]。外泌体具有更小的尺寸,可以更容易地到达受损的心肌组织。采用基因修饰的方法提高外泌体的miRNA载量,通过iv的方式进行治疗,不仅可以解决miRNA传递效率低下的问题,还可以增强外泌体的治疗靶向性和特异性,大大提高了临床的可用性^[4]。本实验旨在建立心肌细胞缺糖缺氧/复糖复氧模型,探讨miR-199a修饰间充质干细胞(MSCs)外泌体对心肌细胞线粒体的保护作用。

1 材料

1.1 细胞

大鼠心肌细胞株 H9c2,购自中国科学院上海细胞库。

1.2 主要试剂

蛋白激酶 B(Akt)抑制剂 MK2206(货号 S1078) 购自 Selleck 公司; miR-199a mimic 和阴性对照片段购自上海吉玛公司; RNA 提取试剂 Trizol、转染试剂脂质体 Lipofectamine 3 000、青/链霉素、细胞培养液、胎牛血清和 0.05% 胰酶/EDTA 购自美国

Thermofisher 公司; ATP 检测试剂盒、线粒体膜电 位(ΔΨm)检测试剂盒、RIPA、5×loading buffer、蛋 白酶抑制剂、磷酸酶抑制剂和BCA蛋白定量试剂盒 购自索来宝公司;乳酸脱氢酶(LDH)、丙二 醛(MDA)试剂盒购自碧云天生物技术有限公 司;超氧化物歧化酶(SOD)试剂盒购自南京建 成生物有限公司; 8-羟基脱氧鸟苷酸(8-OHdG) 试剂盒购自酶联生物科技有有限公司; CCK-8 检测试剂购自日本同仁公司;逆转录试剂盒、 SYBR Green qPCR 试剂盒购自全式金公司; miRcute miRNA 提取分离试剂盒、miRcute Plus miRNA First-Strand cDNA 试剂盒和 miRcute Plus miRNA qPCR 试剂盒购自天根公司;兔源低氧 诱导因子 $-1\alpha(HIF-1\alpha)$ 和动力相关蛋白1抗 体(DRP1) 一 抗 购 自 CST 公 司; 小 鼠 源 GAPDH 一抗、辣根过氧化物酶(HRP)标记的羊抗兔和 羊抗小鼠二抗购自 proteinteck 公司; ECL 化学发 光试剂盒购自 Millipore 公司。

1.3 主要仪器

HT7800 透射电子显微镜(日本日立公司); NS300纳米粒子追踪分析(英国莫尔文公司);XPN-100超速离心机(美国贝克曼公司);SpectraMax190 多功能酶标仪(美国美谷公司);LSM800激光扫描 共聚焦显微镜(德国蔡司公司);LightCycler 480 荧 光定量 PCR 仪(瑞士罗氏公司);FX7 凝胶成像 仪(法国 Vilber 公司)。

1.4 实验动物

3~4周体质量100g左右的雄性大鼠,购自北京维通利华实验动物技术有限公司,实验动物生产许可证号SCXK(京)-2021-0006,动物实验经中国医学科学院放射医学研究所伦理委员会批准,编号

IRM-DWLL-2023190。

2 方法

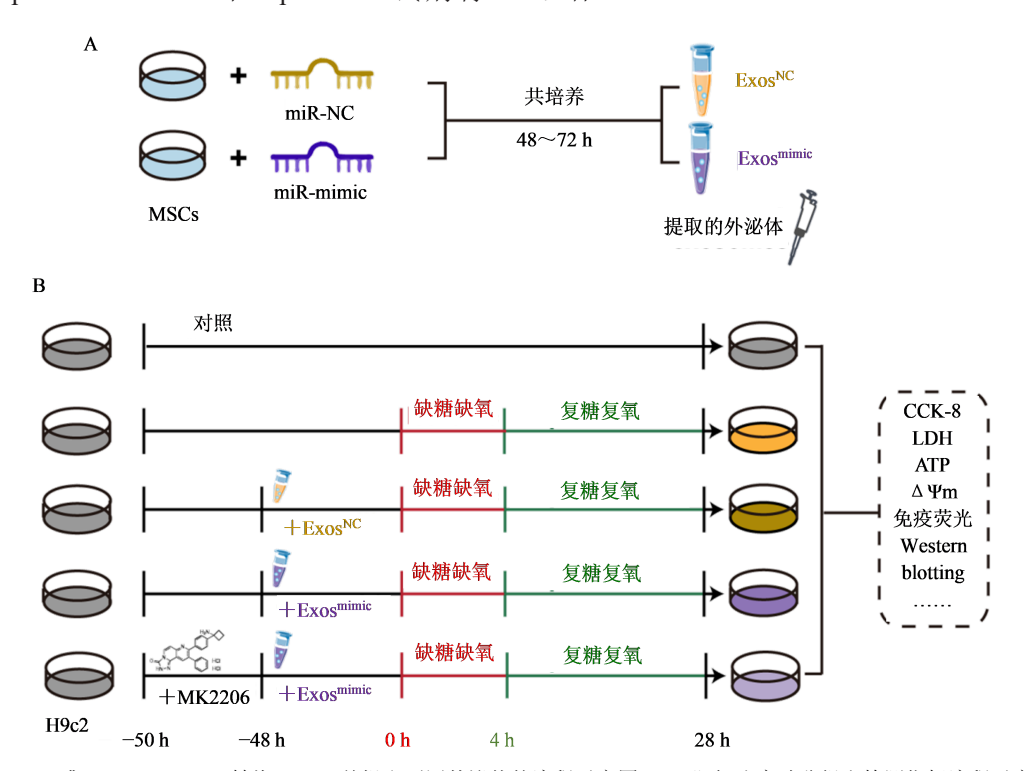
2.1 MSCs培养和转染

在无菌条件下,从体质量100 g左右的雄性大鼠中分离股骨和胫骨的骨髓,使用磷酸盐缓冲液(PBS)充分冲洗并收集冲洗液,冲洗液在4℃、1000×g离心5 min,弃上清,PBS重悬沉淀物并进行细胞计数,制成浓度为1×10⁷·mL⁻¹的细胞悬液,将其接种于含15%胎牛血清(FBS)的 DMEM/F12培养液中,于37℃、5% CO₂培养箱内培养。每3天更换1次培养液,当细胞融合达85%左右时,进行消化和传代,此即为提取的骨髓 MSCs。取第3代生长状态良好的 MSCs,当细胞融合达75%左右时,用 Lipofectamine 3000 和 Opti-MEM 试剂将

 $100 \text{ nmol} \cdot \text{L}^{-1} \text{ miR-NC}$ 或者 miR-199a mimic 转染 MSCs,继续培养 $48 \sim 72 \text{ h}$ 后,提取外泌体后进行后 续实验。

2.2 外泌体的提取及鉴定

外泌体的提取流程图见图1-A。收集转染miR-NC或者 miR-199a mimic 后培养的 MSCs 上清液,依次经过500×g 离心 10 min、2 000×g 离心 20 min和5 000×g 离心 30 min,将离心后收集的上清液用0.2 μ m滤器滤过,在超速离心机中以4°C、130 000×g 离心 2 h,收集沉淀并重悬于 PBS 中,再以4°C、130 000×g 超离心 2 h,获得纯化的外泌体Exos^{NC}(转染 miR-NC的 MSCs 来源的外泌体)和Exos^{mimic}(转染 miR-199a mimic 的 MSCs 来源的外泌体)。



A-miR-NC 或 miR-199a mimic 转染 MSCs,并提取不同外泌体的流程示意图; B-心肌细胞实验分组和检测指标流程示意图。
A-Schematic diagram of miR-NC or miR-199a mimic transfection of MSCs and extraction of exosomes; B-Schematic diagram of grouping and detection process for myocardial cell experiment.

图1 本实验流程图

Fig. 1 Flow chart of study

同法提取不转染的 MSCs 来源的外泌体作为对照,实时荧光定量 PCR(qRT-PCR)法检测 3 种外泌体中 miR-199a 的表达水平。 根据 miRcute miRNA 提取分离试剂盒说明书提取外泌体 miRNA,依次使用 miRcute Plus miRNA First-Strand cDNA 试剂盒和 miRcute Plus miRNA qPCR 试剂盒将 miRNA 逆转录成 cDNA 后进行 qRT-PCR 检测。 PCR 扩增条件为: 95 ℃预变性 15 min,94 ℃变性 15 s,55 ℃退火 30 s,

70 ℃延伸 30 s, 扩增 50 个循环。以秀丽隐杆线虫的 miR-39(*Cel-miR-39*)作为检测外参^[9],以 2^{-ΔΔCl}法计算外泌体中 *miR-199a* 水平。引物序列见表 1。

取重悬于 PBS 中的外泌体 20 μL 滴在碳支持膜铜网上,室温放置 5 min 后,用滤纸吸去多余的液体,染色 3 min,再次用滤纸吸去多余液体,室温干燥后,使用透射电子显微镜观察外泌体的形态,使用纳米粒子追踪分析检测外泌体溶液中的颗粒

表 1 qRT-PCR 实验使用的引物序列 Table 1 Primer sequences used for qRT-PCR

引物名称	序列(3'→5')
miR-199a 正向	GTCACAGTAGTCTGCACAT
miR-199a 反向	GTGCAGGGTCCGAGGT
Cel-miR-39-3p 正向	GGGTCACCGGGTGTAAATC
Cel-miR-39-3p 反向	GAGAGGAGGGAAGAGGGAA

数和尺寸分布。

2.3 心肌细胞缺糖缺氧/复糖复氧模型制作和分组

按照文献报道方法培养H9c2心肌细胞[5]:将在 液氮中冻存的细胞复苏并接种于完全培养液(含有 10% FBS、1% 青链霉素、1 mmol·L⁻¹ 丙酮酸钠、 4.5 g·L⁻¹葡萄糖的DMEM)中,于37 ℃、5% CO₂培 养箱内培养。每2~3天传代1次,将对数生长期的 细胞按照每孔1.5×105个的密度接种在6孔板中, 分为对照组、模型组、Exos^{NC}组、Exos^{mimic}组、 Exos^{mimic}+MK2206组。对照组正常培养;模型组将 细胞培养液换为缺糖培养液(不含FBS、葡萄糖和丙 酮酸钠的 DMEM 培养液),在缺氧培养箱中缺 氧(94% N2,1% O2,5% CO2)处理4h,取出细胞复糖 复氧(正常培养)24 h; Exos^{NC}组:加入100 μg Exos^{NC}(终质量浓度 50 μg·mL⁻¹)^[6-7], 37 ℃ 培 养 48 h 后 进 行 造模; Exos^{mimic}组:加入 100 μg Exos^{mimic} (终 质 量 浓 度 50 μg·mL⁻¹)^[6-7], 37 ℃培养 48 h 后造模; Exos^{mimic}+MK2206组:加入Exos^{mimic}前 2 h 加入 MK2206 溶液(终质量浓度 10 μg·mL⁻¹)^[8], 37 ℃培养 2 h 后加 100 μg Exos^{mimic}, 37 ℃培养 48 h 后造模。流程图见图1-B。

2.4 细胞存活率检测

将细胞按照每孔 5×10^3 个的密度接种在 96 孔板中,造模及给药操作同"2.3"项。各组实验结束后,每孔加入 CCK-8 溶液 $20~\mu$ L,37 °C继续孵育 4~h,用酶标仪测定溶解液在 450~nm 波长处的吸光度 (A)值,计算细胞存活率。

细胞存活率=A_{寒驗}/A_{对照}

2.5 ATP 含量检测

将细胞按照每孔 $1.5 \times 10^{\circ}$ 个的密度接种在 6 孔板中,造模及给药操作同"2.3"项。实验结束后,弃掉细胞上清,向 6 孔板的每个孔中加入 200 μ L 裂解液。用移液管反复吹打以确保细胞裂解完全。将各孔细胞裂解混合液转移到新的 Eppendorf 管中,4°C下 $12~000 \times g$ 离心 $5~\min$,提取细胞总蛋白。使用 BCA 蛋白质浓度试剂盒测定蛋白浓度。根据试剂盒的说明书,检测板中每孔加入 $100~\mu$ L ATP 检测

工作液,室温放置 3~5 min 后加入 20 μL 样品总蛋白或标准品,迅速混匀后立刻放入多功能酶标仪中检测。根据标准曲线和蛋白浓度,计算样品中 1 mg总蛋白中的 ATP 含量。

2.6 LDH、MDA、SOD和8-OHdG检测

将细胞按照每孔1.5×10⁵个的密度接种在6孔板中,造模及给药操作同"2.3"项。分别收集各组细胞用于 MDA 和 SOD 检测,收集各组细胞上清液用于 LDH 和 8-OHdG 检测,按照检测试剂盒说明书进行操作,建立标准曲线,于多功能酶标仪相应波长处测量各组4值,计算出LDH、MDA、SOD和8-OHdG的含量。

2.7 共聚焦显微镜观察线粒体分裂

将细胞按照每孔 3×10⁴个的密度接种在 24 孔板细胞爬片中,造模及给药操作同"2.3"项。实验前 48 h使用 DsRed Mito 标记细胞中的活线粒体。实验结束后去除培养基并用 PBS 洗涤细胞 3 次后,向每个孔中加入 500 μL 4% 多聚甲醛,在室温下孵育15 min。用 PBS 洗涤细胞 3 次,以去除残留的多聚甲醛。细胞核用 4',6-二脒基-2-苯基吲哚(DAPI)复染,并用盖玻片固定。使用激光扫描共聚焦显微镜进行成像。

2.8 ΔΨm 的检测

将细胞按照每孔 5×10³个的密度接种在外径35 mm的共聚焦显微镜专用培养皿中,造模及给药操作同"2.3"项。按照带有JC-1的ΔΨm测定试剂盒说明书操作,在造模结束后吸弃细胞上清液,用PBS洗涤细胞2次,加入500 μL细胞培养液。加入500 μLJC-1染色工作液,充分混匀,将细胞在37°C下孵育20 min。用JC-1染色缓冲液洗涤沉淀2次后,加入1 mL细胞培养液。使用激光扫描共聚焦显微镜进行成像。

2.9 Western blotting 法检测蛋白表达

取按照"2.5"项方法提取的总蛋白,使用 5× loading buffer 进行变性后取 20 μg 进行 SDS-PAGE 电泳和转膜。在室温下用 5% 牛血清白蛋白 (BSA) 封闭含有总蛋白的聚偏二氟乙烯 (PVDF)膜 2 h,根据蛋白 marker 相对分子质量大小切取包含 HIF-1α、DRP1或者 GAPDH蛋白条带的 PVDF膜,分别加入抗 HIF-1α、DRP1(1:1000)或 GAPDH(1:10000)抗体 4℃解育过夜。取出孵育好的 PVDF膜用 1× TBST 洗膜 3次,每次 15 min,加入 HRP标记二抗(1:10000),室温孵育 1 h。再次用 1×TBST 洗膜 3次后,在含有靶蛋白的 PVDF膜上滴加 1 mL ECL 化学

发光液反应 1 min 后,在凝胶成像仪上进行化学模式曝光,扫描目的条带灰度值,以GAPDH为内参分析 HIF-1α和 DRP1 蛋白表达水平。

2.10 统计学方法

应用 SPSS 11.5 软件处理数据,符合正态分布的 计量资料以 $\bar{x} \pm s$ 表示,多组比较采用单因素方差分析,组间多重比较采用LSD-t检验。

3 结果

3.1 外泌体 miR-199a 修饰效果检测

qRT-PCR 结果(表 2)显示,与对照组比较 $Exos^{NC}$ 中 miR-199a 表达水平没有统计学差异, $Exos^{mimic}$ 中miR-199a表达水平明显升高(P<0.05)。

3.2 外泌体鉴定

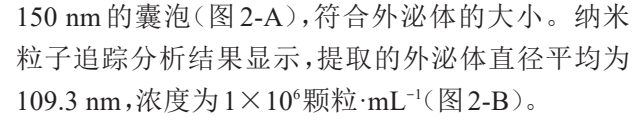
透射电子显微镜扫描结果可见直径30~

表 2 外泌体 miR-199a 修饰效果比较(x±s,n=3)

Table 2 Comparison of miR-199a content between groups ($\bar{x}\pm s$, n=3)

组别	miR-199a/Cel-miR-39
对照	1.00±0.20
$Exos^{NC}$	1.02 ± 0.26
$\mathrm{Exos}^{\mathrm{mimic}}$	$4.87{\pm}0.68^*$

与对照组比较:*P<0.05。



3.3 各组心肌细胞存活率、LDH和ATP比较

与对照组比较,模型组细胞存活率和ATP水平显著降低,LDH水平升高(P<0.01、0.001);与模型组比较,Exos^{mimic}组细胞存活率和ATP水平显著升高,LDH水平显著降低(P<0.01、0.001)。与Exos^{mimic}组比较,Exos^{mimic}+MK2206组细胞存活率和ATP水平显著降低,LDH水平显著升高(P<0.01)。结果见图3。

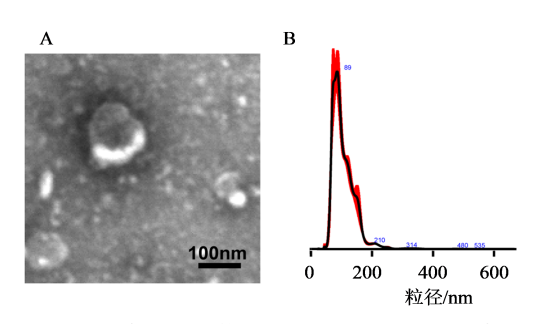
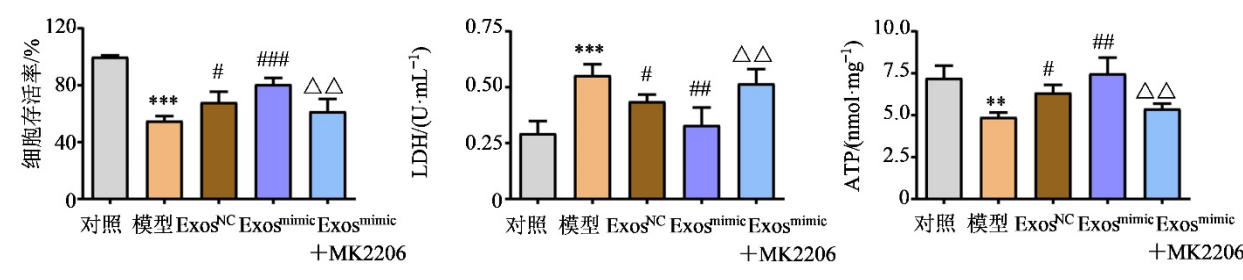


图 2 MSCs来源外泌体形态观察(A,×6 000)及粒径分析(B)

Fig. 2 Morphological observation (A, ×6 000) and particle size analysis (B) of exosomes derived from MSCs



与对照组比较: **P<0.001 ***P<0.001; 与模型组比较: *P<0.05 ***P<0.01 ***P<0.001; 与Exos^{mimic}组比较: $\triangle P$ <0.01 ***P<0.01 ***P<0.001 ***P<0.01 ***P<0.02 ***P<0.01 ***P<0.02 ***P<0.01 ***P<0.02 ***P

图 3 各组细胞细胞存活率、LDH和ATP比较($\bar{x} \pm s, n=3$)

Fig. 3 Comparison of cell viability, LDH and ATP in each group $(\bar{x} \pm s, n=3)$

3.4 各组心肌细胞MDA、8-OHdG和SOD比较

与对照组比较,模型组 MDA 和 8-OHdG 水平显著升高,SOD 水平显著降低(P<0.001);与模型组比较,Exos^{mimic}组细胞 MDA 和 8-OHdG 水平显著降低(P<0.01、0.001),SOD 水平显著升高(P<0.01);MK2206 能显著逆转 Exos^{mimic} 的效果(P<0.05、0.01)。见图 4。

3.5 ΔΨm 检测结果

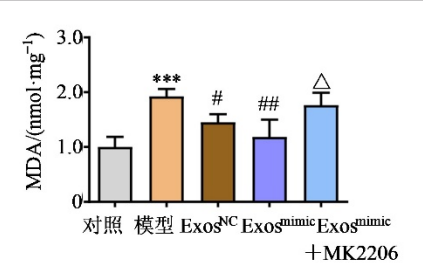
与对照组比较,模型组红色荧光强度明显减弱,绿色荧光强度明显增强(P<0.001);与模型组和

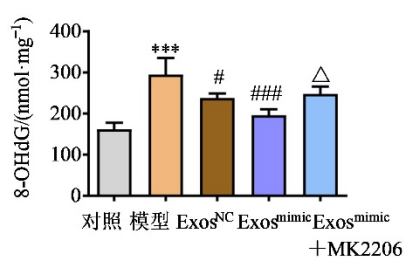
Exos^{NC}组比较,Exos^{mimic}组红色荧光强度明显增强,绿色荧光强度明显减弱(P<0.01);与Exos^{mimic}组比较,MK2206组红色荧光强度明显减弱,绿色荧光强度明显增强(P<0.01)。见图5。

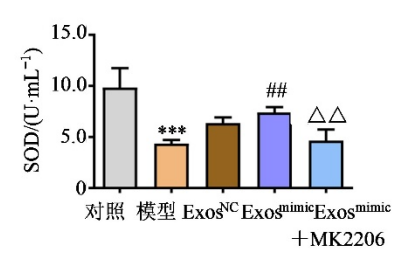
3.6 共聚焦观察线粒体动力学变化

对照组心肌细胞线粒体分裂与融合处于平衡状态,线粒体呈长的丝状结构,可见点状结构;与对照组比较,模型组心肌细胞线粒体分裂增多,点状结构明显增多;与模型组比较,Exos^{NC}组心肌细胞线粒体分裂与融合无明显变化;与模型组和Exos^{NC}组

^{*} $P < 0.05 \ vs \ control \ group$



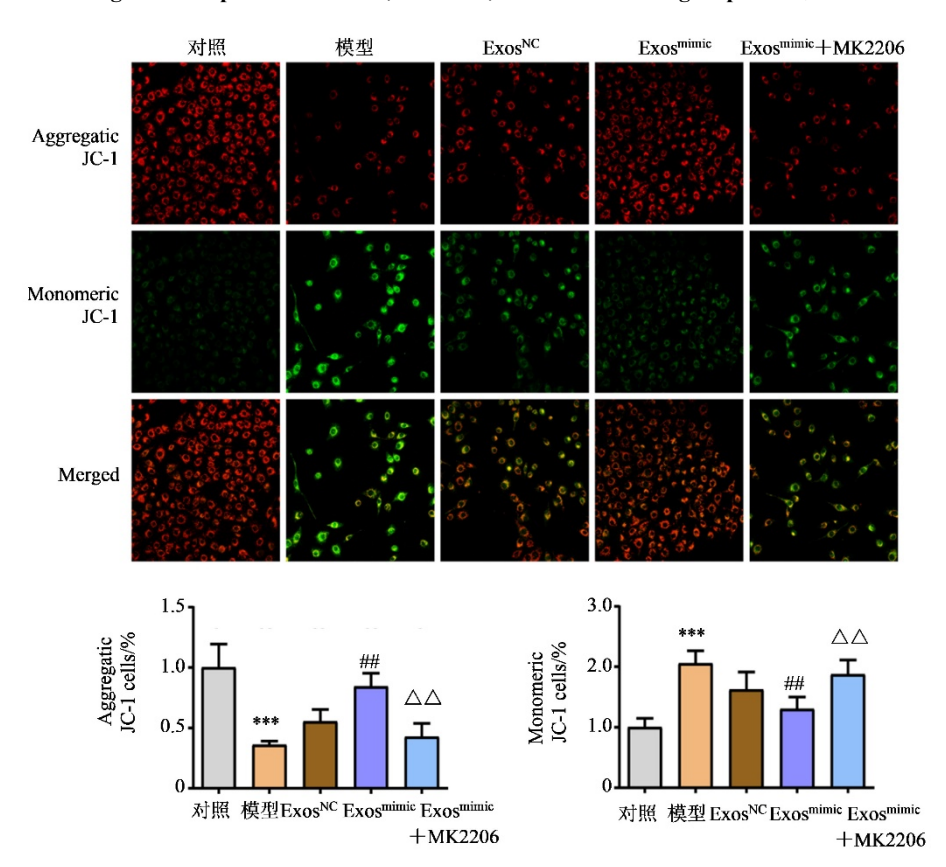




与对照组比较:***P<0.001;与模型组比较:*P<0.05 ***P<0.01 ****P<0.001;与Exos^{mimic}组比较: $^{\triangle}P$ <0.05 $^{\triangle\triangle}P$ <0.01。****P<0.001 vs control group; $^{\#}P$ <0.05 ***P<0.01 ****P<0.001 vs model group; $^{\triangle}P$ <0.05 ***P<0.01 vs Exos^{mimic} group.

图 4 各组细胞 MDA、8-OHdG 和 SOD 比较 $(\bar{x} \pm s, n=3)$

Fig. 4 Comparison of MDA, 8-OHdG, and SOD in each group $(\bar{x} \pm s, n=3)$



与对照组比较:***P<0.001;与模型组比较: $^{\#}P$ <0.01;与Exos^{mimic}组比较: $^{\triangle}P$ <0.01。
*** $^{***}P$ <0.001 $^{***}P$ <0.01 $^{***}P$ <0.01 $^{**}P$

图 5 激光共聚焦检测各组细胞 $\Delta \Psi m$ 情况 $(\bar{x} \pm s, n=3, \times 20)$

Fig. 5 Laser confocal images of $\Delta \Psi m$ of each group $(\bar{x} \pm s, n=3, \times 20)$

比较,Exos^{mimic}组心肌细胞线粒体融合增多,长的丝状结构明显增多;与Exos^{mimic}组比较,MK2206能明显增加线粒体分裂。见图6。

3.7 各组蛋白表达水平比较

与对照组比较,模型组 HIF-1 α 和 DRP1 蛋白表达水平明显升高(P<0.001);与模型组比较,Exos^{NC}组 HIF-1 α 和 DRP1 蛋白表达水平无明显变化;与模型组和 Exos^{NC}组比较,Exos^{mimic}组 HIF-1 α 和 DRP1 蛋白表达水平显著降低(P<0.01、0.001);与 Exos^{mimic}组比较,MK2206组 HIF-1 α 和 DRP1 蛋白表达水平明显升高(P<0.05、0.01)。结果见图 7。

4 讨论

心肌缺血再灌注损伤过程中,线粒体对缺血时的低氧水平和再灌注过程中产生的活性氧(ROS)非常敏感,常常导致线粒体功能丧失。研究显示,miRNA通过转录后机制调控缺氧诱发的信号通路,在线粒体的保护方面显示了巨大的潜力。Zhang等[10]采用氧糖剥夺建立人心肌细胞系AC16的缺氧损伤模型,发现miR-1203通过激活ANT2/mTOR/PGC-1α反馈回路减轻线粒体损伤。在高脂饮食建立的大鼠动脉粥样硬化模型中,怡脉颗粒通过下调miRNA-125a-5p的表达,激活Pink1-Mfn2-Parkin介

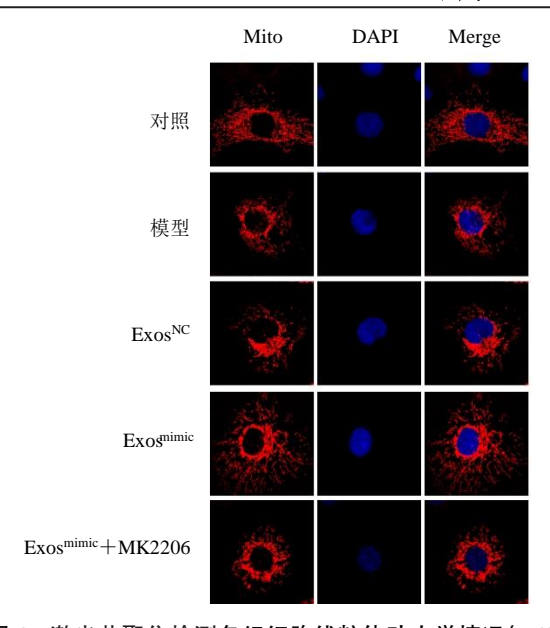
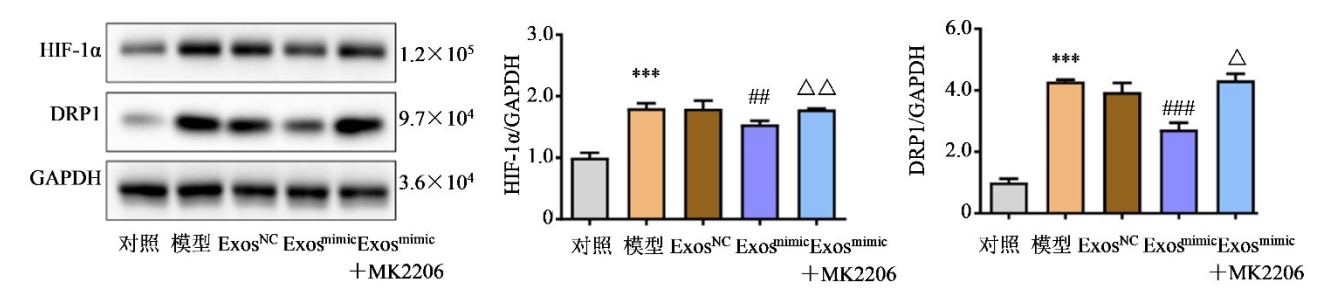


图 6 激光共聚焦检测各组细胞线粒体动力学情况(×63) Fig. 6 Laser confocal images of mitochondrial dynamic of each group (×63)

导的线粒体自噬,调节炎症因子、血管收缩因子和血脂水平,从而缓解动脉粥样硬化[11]。本研究发现,过表达miR-199a可以促进缺血再灌注心肌细胞ATP的生成、升高线粒体膜电位,促进线粒体的融合。虽然本研究在体外心肌细胞的培养和缺血再灌注损伤的制作上与 Zhang 等[10] 和 Kong 等[10] 并不完全相同,但是都证实了miRNA在调节线粒体的功能中具有重要的作用。

MiR-199a通过调节多种信号通路参与不同疾病的发生发展,且逐渐成为多种疾病潜在的治疗靶点。Erfan等^[12]发现,在克罗恩病和溃疡性结肠炎等炎症性肠病的患者中,血液循环中miR-199a的表达水平均较高,不仅通过介导核因子-κB在炎症性肠病中发挥作用,而且具有炎症性肠病的诊断生物标志物的特异性。在小鼠异种移植的弥漫性胃癌模型中,胃癌细胞中miR-199a表达加速了癌细胞的生长速度、活力和运动性,增加了肿瘤体积和质量。



与对照组比较:***P<0.001;与模型组比较: $^{##}P$ <0.01 $^{###}P$ <0.001;与Exos^{mimic}组比较: $^{\triangle}P$ <0.05 $^{\triangle\triangle}P$ <0.01。*** $^{***}P$ <0.001 $^{**}P$ <0.001 $^{***}P$ <0.001 $^{***}P$ <0.001 $^{***}P$ <0.001 $^{**}P$

图 7 Western blotting 检测各组细胞 HIF-1 α 和 DRP1 蛋白表达水平($\bar{x} \pm s, n=3$) Fig. 7 Western blotting assay of HIF-1 α and DRP1 proteins ($\bar{x} \pm s, n=3$)

高表达水平的 miR-199a 不仅与淋巴血管浸润增强、T期晚期和淋巴结转移相关,而且可以区分胃黏膜中早期和晚期弥漫性胃癌,成为胃癌进展的病理标志物^[13]。Guo 等^[14]发现过表达 miR-199a 可通过靶向 HIF-1α缓解阻塞性睡眠呼吸暂停综合征相关高血压氧化酶应激和炎症,成为一种新的潜在治疗靶点。Gabisonia等^[2]在猪心肌梗死区周围注射携带 miR-199a 的腺病毒相关病毒(AAV)可以刺激心肌细胞去分化和增殖,减少梗死面积,减少心肌纤维化,提高心脏功能,但较长时间的观察中,AAV 载体介导的 miR-199a 的持续和不受控制的表达导致了大多数治疗猪的心律失常猝死。因此,使用 miR-199a作为基因工具需要寻找有效的、新的携带方式。

携带生物活性 miRNA 的外泌体是近年来的研究热点,是药物和分子递送的天然纳米载体^[7]。外泌 体可 以包裹 miRNAs,这种生物 膜结构保护

miRNAs 不被降解,从而使 miRNAs 更容易被内吞^[15]。使用人羊膜干细胞来源的外泌体(hASC-Exos)治疗皮肤色素沉着过度时,研究人员通过测序发现,hASC-Exos富含 miR-199a,通过激活自噬促进黑色素体降解抑制皮肤色素沉着过度^[16]。 Lee 等^[17]发现 MSCs 来源的外泌体通过其富含的 miR-199a 作用于 sp1/p53 信号通路提高存活素表达,保护心肌细胞免受多柔比星诱导的心肌病,且 miR-199a 表达水平受到 Akt的调控。

为了实现外泌体的卓越治疗效果,已有多种工程化外泌体作为靶向 miR-199a 递送载体^[18-20]。通过慢病毒感染和嘌呤霉素选择构建 miR-199a 修饰的脂肪组织来源的 MSCs 的外泌体 (AMSC-Exo-199a),可有效介导 miR-199a 递送并靶向抑制 mTOR 通路,可改善 HCC细胞对化疗药物敏感性。此外,静脉注射的 AMSC-Exo-199a 可以分布到肿瘤

组织,并显着增加阿霉素(Dox)在体内对HCC细胞的作用[7]。基因工程人诱导多能干细胞(hiPS)和表达miR-199a的脐带间充质干细胞(UC-MSCs)来源的外泌体,均能有效地将miRNA转移给受体心脏成纤维细胞,减少细胞凋亡、降低促炎细胞因子对心脏成纤维细胞表现出细胞保护作用[21]。MiRNA模拟物修饰的工程化的细胞外囊泡介导的miR-199a-3p递送增加了3D打印心脏贴片的生存能力[20]。过表达miR-199a-5p的人脐带MSCs来源的外泌体(HMSCs-Exo)比HMSCs-Exo能更有效地减少人肺泡上皮细胞和小鼠急性肺损伤模型中的ROS、脂质过氧化产物和增加抗氧化酶的活性,在降低肺细胞氧化应激和凋亡中发挥了重要作用[21]。这些都说明外泌体不仅提高了miR-199a传递效率和靶向性,还可通过静脉注射的方式给药,使其更具临床可行性。

在心脏疾病的研究中,miR-199a主要集中在调控心肌细胞的增殖和纤维化,对线粒体的调控报道较少。本实验初步探索了miR-199a修饰的MSCs外泌体促进缺氧心肌细胞线粒体修复的机制,证实miR-199a可以调控HIF-1α表达水平,进一步调控线粒体分裂蛋白DRP1的表达,从而调节线粒体的分裂与融合,发挥心肌保护机制,以期为miR-199a治疗心肌梗死提供新的治疗靶点和理论依据。

利益冲突 所有作者均声明不存在利益冲突 参考文献

- [1] 周菲, 庄敏之, 吴瑛. 黄芩苷联合奥沙利铂调控 miR-433-3p/SRC 对胃癌细胞增殖和侵袭的影响 [J]. 药物评价研究, 2024, 47(3): 529-537.
 - Zhou F, Zhuang M Z, Wu Y. Mechanism of regulation of miR-433-3p/SRC by baicalin combined with oxaliplatin on proliferation and invasion of gastric cancer cells [J]. Drug Eval Res, 2024, 47(3): 529-537.
- [2] Gabisonia K, Prosdocimo G, Aquaro G D, et al. MicroRNA therapy stimulates uncontrolled cardiac repair after myocardial infarction in pigs [J]. Nature, 2019, 569 (7756): 418-422.
- [3] Gotoh S, Kawabori M, Fujimura M. Intranasal administration of stem cell-derived exosomes for central nervous system diseases [J]. Neural Regen Res, 2024, 19 (6): 1249-1255.
- [4] Moghassemi S, Dadashzadeh A, Sousa M J, et al. Extracellular vesicles in nanomedicine and regenerative medicine: A review over the last decade [J]. Bioact Mater, 2024, 36: 126-156.
- [5] 郑君毅, 张莹莹, 刘园园, 等. FUNDC1 通过调控线粒体 分裂影响高糖损伤 H9c2 心肌细胞凋亡的机制研究 [J].

天津医药, 2022, 50(8): 791-795.

- Zheng J Y, Zhang Y Y, Liu Y Y, et al. Mechanism of FUNDC1 affacting apoptosis of H9c2 cardiomyocytes with high glucose injury by regulating mitochondrial fission [J]. Tianjin Med J, 2022, 50(8): 791-795.
- [6] 闫霖,陆珏秀,罗颖,等.BM-MSCs来源外泌体介导铁死亡减轻大鼠心肌细胞系 H9c2 缺氧/复氧损伤 [J]. 基础医学与临床, 2023, 43(5): 771-776.
 - Yan L, Lu J X, Luo Y, et al. Protective effect of BM-MSCs-derived exosome-mediated ferroptosis against Anoxia-reoxygenation injury in rat cardiomyoblastl cell line H9c2 [J]. Basic Clin Med, 2023, 43(5): 771-776.
- [7] Lou G H, Chen L, Xia C X, et al. MiR-199a-modified exosomes from adipose tissue-derived mesenchymal stem cells improve hepatocellular carcinoma chemosensitivity through mTOR pathway [J]. J Exp Clin Cancer Res, 2020, 39(1): 4.
- [8] Zhao L G, Li P L, Dai Y, et al. Mibefradil alleviates highglucose-induced cardiac hypertrophy by inhibiting PI3K/ Akt/mTOR-mediated autophagy [J]. J Cardiovasc Pharmacol, 2020, 76(2): 246-254.
- [9] 孙铃,朱文武,张健,等. MiR-133a-3p修饰的间充质干细胞外泌体促进心肌梗死后大鼠心肌修复 [J]. 中华心血管病杂志, 2024, 52(1): 72-78.
 - Sun L, Zhu W W, Zhang J, et al. Exosomes derived from miR-133a-3p engineered mesenchymal stem cells promote myocardial repair in rats after acute myocardial infarction [J]. Chin J Cardiol, 2024, 52(1): 72-78.
- [10] Zhang M, Yang Y Z, Zhu Z, et al. Implications of activating the ANT2/mTOR/PGC-1α feedback loop: Insights into mitochondria-mediated injury in hypoxic myocardial cells [J]. Curr Issues Mol Biol, 2023, 45(11): 8633-8651.
- [11] Kong D Z, Sun P, Lu Y, et al. Yi Mai granule improve energy supply of endothelial cells in atherosclerosis via miRNA-125a-5p regulating mitochondrial autophagy through Pink1-Mfn2-Parkin pathway [J]. J Ethnopharmacol, 2024, 319(Pt 1): 117114.
- [12] Erfan, Shaker O G, Khalil M A F, et al. Circulating miR-199a and long noncoding-RNA ANRIL as promising diagnostic biomarkers for inflammatory bowel disease [J]. Inflamm Bowel Dis, 2024, 30(9): 1500-1509.
- [13] Hong S A, Lee S, Park J, et al. MiR-199a and miR-199b facilitate diffuse gastric cancer progression by targeting Frizzled-6 [J]. Sci Rep, 2023, 13(1): 17480.
- [14] Guo C Y, Zhang M H, Su W, et al. MiR-199a-5p relieves obstructive sleep apnea syndrome-related hypertension by targeting HIF-1α [J]. J Immunol Res, 2022, 2022:

7236647.

- [15] Hu S J, Zhu M, Xing H Y, et al. Thread-structural microneedles loaded with engineered exosomes for annulus fibrosus repair by regulating mitophagy recovery and extracellular matrix homeostasis [J]. Bioact Mater, 2024, 37: 1-13.
- [16] Wang X Y, Guan X H, Yu Z P, et al. Human amniotic stem cells-derived exosmal miR-181a-5p and miR-199a inhibit melanogenesis and promote melanosome degradation in skin hyperpigmentation, respectively [J]. Stem Cell Res Ther, 2021, 12(1): 501.
- [17] Lee J Y, Chung J, Byun Y, et al. Mesenchymal stem cell-derived small extracellular vesicles protect cardiomyocytes from Doxorubicin-induced cardiomyopathy by upregulating survivin expression via the miR-199a-3p-Akt-Sp1/p53 signaling pathway [J]. Int J Mol Sci, 2021, 22(13): 7102.
- [18] Zhao S, Xiu G H, Wang J, et al. Engineering exosomes

- derived from subcutaneous fat MSCs specially promote cartilage repair as miR-199a-3p delivery vehicles in Osteoarthritis [J]. J Nanobiotechnol, 2023, 21(1): 341.
- [19] Kmiotek-Wasylewska K, Bobis-Wozowicz S, Karnas E, et al. Anti-inflammatory, anti-fibrotic and procardiomyogenic effects of genetically engineered extracellular vesicles enriched in miR-1 and miR-199a on human cardiac fibroblasts [J]. Stem Cell Rev Rep, 2023, 19(8): 2756-2773.
- [20] Bar A, Kryukov O, Etzion S, et al. 316Engineered extracellular vesicle-mediated delivery of miR-199a-3p increases the viability of 3D-printed cardiac patches [J]. Int J Bioprint, 2023, 9(2): 670.
- [21] Gong C C, Gu Z Y, Zhang X K, et al. HMSCs exosomederived miR-199a-5p attenuates sulfur mustard-associated oxidative stress via the CAV1/NRF2 signalling pathway [J]. J Cell Mol Med, 2023, 27(15): 2165-2182.

[责任编辑 兰新新]